

НАПРЯЖЕННОЕ СОСТОЯНИЕ СОСТАВНОГО ПОЛУПРОСТРАНСТВА С КОНЦЕНТРАТОРАМИ НАПРЯЖЕНИЙ ТИПА ТРЕЩИН И ШТАМПОВ НА ПОВЕРХНОСТИ СОСТАВНОГО УПРУГОГО ПОЛУПРОСТРАНСТВА ПРИ АНТИПЛОСКОЙ ДЕФОРМАЦИИ

А.А. Мусаелян

Национальный университет архитектуры и строительства Армении

Ключевые слова: полупространство, слой, трещина, штамп, сингулярное уравнение.

Исследуется контактная задача для составного упругого полупространства, деформирующегося в условиях продольного сдвига. Полупространство состоит из упругого бесконечного слоя конечной толщины и контактирующего с ней упругого полупространства с разными модулями сдвига. На границе полупространства приложен жесткий ленточный штамп с плоским основанием и конечной шириной. Контактная линия между слоем и полупространством ослаблена (туннельной) трещиной. Эти данные должны быть сравнены с их допускаемыми значениями для строительных конструкций, вида фундаментов зданий и сооружений, которые есть у различных строительных материалов.

Введение. Рассматриваемая задача относится к классу задач о передаче нагрузок от концентраторов напряжений типа штампов и включений к массивным кусочно – однородным телам. В виду актуальности и значимости этих задач при теоретических исследованиях в различных расчетах инженерной практики существует огромное количество работ, посвященных изучению контактных и смешанных задач подобного рода. Здесь укажем лишь некоторые работы [1-5] и цитированное в них огромное количество библиографии, связанной с рассматриваемой задачей.

В общей постановке рассматривается контактная задача для составного полупространства, состоящая из упругого полупространства и жестко контактирующего с ней упругого бесконечного слоя конечной толщины с разными модулями сдвига.

Постановка задачи и вывод определяющих уравнений. Пусть составное полупространство, отнесенное к декартовой системе координат $Oxyz$, состоит из упругого бесконечного слоя толщины h и контактирующего с ним упругого полупространства. Слой занимает область $\Omega_1(|x, z| < \infty, -h < y < 0)$ и имеет модуль сдвига G_1 , а полупространство с модулем G_2 занимает область $\Omega_2(|x, z| < \infty, 0 < y < \infty)$. Слой по полосе $\omega_1(x = 0 < \infty, -d < y < -c, |z| < \infty)$, содержит жесткую полосу – включение, находящееся в полном контакте со слоем, а по полосе $\omega_2(-l_1 \leq x \leq l_2, y < -h, |z| < \infty)$ поверхности слоя прикреплен жесткий ленточный штамп (рис. 1).

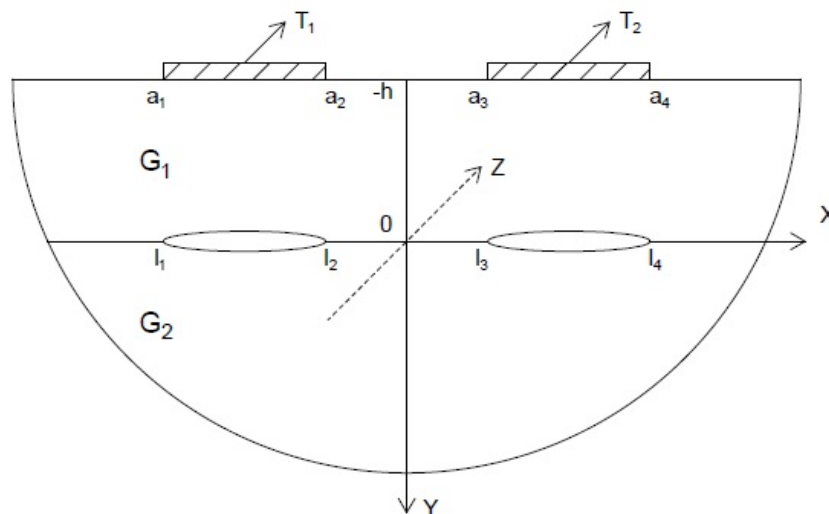


Рис. 1. Составное упругое полупространство с трещинами и штампами на поверхности составного полупространства

Внешние воздействия в виде касательных сил могут быть приложены к штампу, а также к свободной поверхности слоя вне полосы штампа. Требуется определить напряженное состояние в составном полупространстве, а также основные характеристики контактных напряжений, возникающие под штампом.

Решение поставленной задачи математически сводится к следующей краевой задаче для двумерного уравнения Лапласа в областях Ω_1^* и Ω_2^* на базовой плоскости Оху:

$$\Delta w_j(x; y) = 0; (x; y) \in \Omega_1^*; \Omega_1^*(|x| < \infty; -h < y < 0); \Omega_2^*(|x| < \infty; 0 < y < \infty); \quad (1)$$

$$\left. \frac{\partial w_1(x, y)}{\partial y} \right|_{y=-0} = \tau_{2N-1; N}^-(x); l_{2N-1} < x < l_N; \left. \frac{\partial w_1(x, y)}{\partial x} \right|_{y=-h} = 0; a_{2N-1} < x < a_N; N = 1; 2; \quad (2)$$

при условиях исчезновения напряжений на бесконечности и полного контакта на линии $y = 0$:

$$w_1(x, -0) = w_2(x, +0); \tau_{yz}^1(x, -0) = \tau_{yz}^2(x, +0); x \in (l_{2N-1}; l_{2N}); \quad (3)$$

Здесь $w_j(x; y)$ ($j = 1; 2$) – упругое перемещение.

Обозначим через $q(x)$, подлежащем определению контактные напряжения под штампом, и введем функции скачков на линии трещины:

$$q(x) = \tau_{yz}(x, -h); f(x) = \tau_{yz}^1(x, -0) - \tau_{yz}^2(x, +0); \\ g(x) = w_1(x, -0) - w_2(x, +0); \quad (4)$$

Решая краевую задачу и предполагая при этом, что $\tau_{2N-1; N}^-(x)$ и $f(x)$, известные для определения компонентов напряжений в области Ω_1^* , получим:

$$-\frac{1}{\pi} \cdot \frac{1}{\gamma + 1} \int_{l_1}^{l_2} g'_{12}(t) \cdot \left(\frac{1}{t-x} - K_{gl}(t; x) \right) dt - \frac{1}{\pi} \cdot \frac{1}{\gamma + 1} \int_{l_3}^{l_4} g'_{34}(t) \cdot \left(\frac{1}{t-x} - K_{gl}(t; x) \right) dt + \\ + \frac{1}{\pi} \int_{a_1}^{a_2} q_{12\gamma}(t) \cdot K_{ql}(t; x) dt + \frac{1}{\pi} \int_{a_3}^{a_4} q_{34\gamma}(t) \cdot K_{ql}(t; x) dt = \Phi_1(x); l_1 < x < l_2; \quad (5)$$

$$-\frac{1}{\pi} \cdot \frac{1}{\gamma + 1} \int_{l_1}^{l_2} g'_{12}(t) \cdot \left(\frac{1}{t-x} - K_{gl}(t; x) \right) dt - \frac{1}{\pi} \cdot \frac{1}{\gamma + 1} \int_{l_3}^{l_4} g'_{34}(t) \cdot \left(\frac{1}{t-x} - K_{gl}(t; x) \right) dt + \\ + \frac{1}{\pi} \int_{a_1}^{a_2} q_{12\gamma}(t) \cdot K_{ql}(t; x) dt + \frac{1}{\pi} \int_{a_3}^{a_4} q_{34\gamma}(t) \cdot K_{ql}(t; x) dt = \Phi_2(x); l_3 < x < l_4; \quad (6)$$

$$\frac{1}{\pi} \int_{l_1}^{l_2} g_{12}'(t) \cdot K_{ga}(t; x) dt + \int_{l_3}^{l_4} g_{34}'(t) \cdot K_{ga}(t; x) dt - \frac{1}{\pi} \int_{a_1}^{a_2} q_{12\gamma}(t) \cdot \left(\frac{1}{t-x} + K_{qa}(t; x) \right) dt - \\ - \int_{a_3}^{a_4} q_{34\gamma}(t) \cdot \left(\frac{1}{t-x} + K_{qa}(t; x) \right) dt = \Phi_3(t; x); a_1 < x < a_2; \quad (7)$$

$$\frac{1}{\pi} \int_{l_1}^{l_2} g_{12}'(t) \cdot K_{ga}(t; x) dt + \int_{l_3}^{l_4} g_{34}'(t) \cdot K_{ga}(t; x) dt - \frac{1}{\pi} \cdot \int_{a_1}^{a_2} q_{12\gamma}(t) \cdot \left(\frac{1}{t-x} + K_{qa}(t; x) \right) dt - \\ - \int_{a_3}^{a_4} q_{34\gamma}(t) \cdot \left(\frac{1}{t-x} + K_{qa}(t; x) \right) dt = \Phi_4(t; x); a_3 < x < a_4 \quad (8)$$

где функции $g'_{12}(t)$, $g'_{34}(t)$, $q_{12\gamma}(t)$, $q_{34\gamma}(t)$ пока неизвестны;

$$\Phi_1(x) = \tau_{12\gamma}^-(x) + \tau_{12\gamma}^+(x) - \gamma \cdot \tau_{34\gamma}^-(x) + \tau_{34\gamma}^+(x) - \\ - \frac{1}{\pi} \cdot \int_{l_1}^{l_2} f_{12\gamma}(t) \cdot dt \cdot K_{lf}(t; x) - \frac{1}{\pi} \cdot \int_{l_3}^{l_4} f_{34\gamma}(t) \cdot dt \cdot K_{lf}(t; x); \\ \Phi_2(x) = \tau_{34\gamma}^-(x) + \tau_{34\gamma}^+(x) - \gamma \cdot \tau_{12\gamma}^-(x) + \tau_{12\gamma}^+(x) -$$

$$\begin{aligned}
 & -\frac{1}{\pi} \cdot \int_{l_1}^{l_2} f_{12\gamma}(t) \cdot dt \cdot K_{lf}(t; x) - \frac{1}{\pi} \cdot \int_{l_3}^{l_4} f_{34\gamma}(t) \cdot dt \cdot K_{lf}(t; x); \\
 \Phi_3(x) &= -\frac{1}{\pi} \cdot \int_{l_1}^{l_2} f_{12\gamma}(t) \cdot dt \cdot K_{af}(t; x) - \frac{1}{\pi} \cdot \int_{l_3}^{l_4} f_{34\gamma}(t) \cdot dt \cdot K_{af}(t; x); \\
 \Phi_4(x) &= -\frac{1}{\pi} \cdot \int_{l_1}^{l_2} f_{12\gamma}(t) \cdot dt \cdot K_{af}(t; x) - \frac{1}{\pi} \cdot \int_{l_3}^{l_4} f_{34\gamma}(t) \cdot dt \cdot K_{af}(t; x); \tag{9} \\
 \gamma &= \frac{G_1}{G_2}; E(\alpha \cdot h) = ch(\alpha \cdot h) + \gamma \cdot sh(\alpha \cdot h); q_\gamma(t) = \frac{q(t)}{G_1}; f_\gamma(t) = \frac{f(t)}{G_2}; f_\gamma(x) = \frac{f(x)}{G_2}; \\
 \tau^-_\gamma(x) &= \frac{\tau^-(x)}{G_1}; \\
 k_s(y) &= \frac{(\gamma + 1) \cdot e^{-\alpha \cdot (h+y)} - (\gamma - 1) \cdot e^{-\alpha \cdot (h-y)}}{2 \cdot E(\alpha \cdot h)}; k_{sc}(y) = \frac{(\gamma - 1) \cdot (e^{\alpha \cdot y} + e^{-\alpha \cdot (2 \cdot h+y)})}{2 \cdot E(\alpha \cdot h)}; \\
 k_{lg}(t; x) &= \int_0^\infty k_s(0) \cdot \sin(u \cdot (t - x)) \cdot du; k_{lq}(t; x) = k_{ag}(t; x) = \int_0^\infty \frac{\cos(u \cdot (t - x))}{E(\alpha \cdot h)} \cdot d\alpha; \\
 k_{lf}(t; x) &= \int_0^\infty k_s(0) \cdot \cos(u \cdot (t - x)) \cdot du; k_{aq}(t; x) = \int_0^\infty k_{sc}(-h) \cdot \sin(u \cdot (t - x)) \cdot du; \\
 k_{af}(t; x) &= \int_0^\infty \frac{\sin(u \cdot (t - x))}{E(\alpha \cdot h)} \cdot du.
 \end{aligned}$$

Уравнения представляют собой сингулярные интегральные уравнения (СИУ) первого рода.

Из постановки задачи следует, что неизвестные функции должны еще удовлетворять следующим условиям:

$$\int_{l_1}^{l_2} g'_{12}(t) \cdot dt = 0; \int_{l_3}^{l_4} g'_{34}(t) \cdot dt = 0; \int_{a_1}^{a_2} q_{12\gamma}(t) \cdot dt = T_1; \int_{a_3}^{a_4} q_{34\gamma}(t) \cdot dt = T_2; \tag{10}$$

где T_1 и T_2 - равнодействующие внешних сил на штамп, которые предполагаются заданными.

Таким образом, решение поставленной выше задачи в общем случае свелось системе СИУ относительно $g'_{12}(t), g'_{34}(t), q_{12\gamma}(t), q_{34\gamma}(t)$.

Численный анализ и выводы. Проведен численный анализ для случаев, когда на поверхности слоя симметрично расположены два штампа и на линии между слоем и полупространством есть одна трещина, центральная точка которой совпадает с точкой $x = 0, y = 0$ (рис. 2).

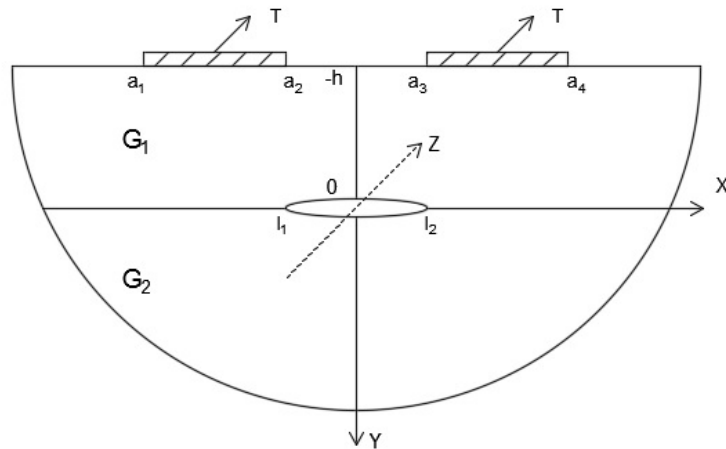


Рис. 2. Составное упругое полупространство с трещинами и штампами на поверхности составного полупространства при частных случаях

На рис. 3. приведены: а – графики напряжений около трещин, б – график напряжений под штампом.

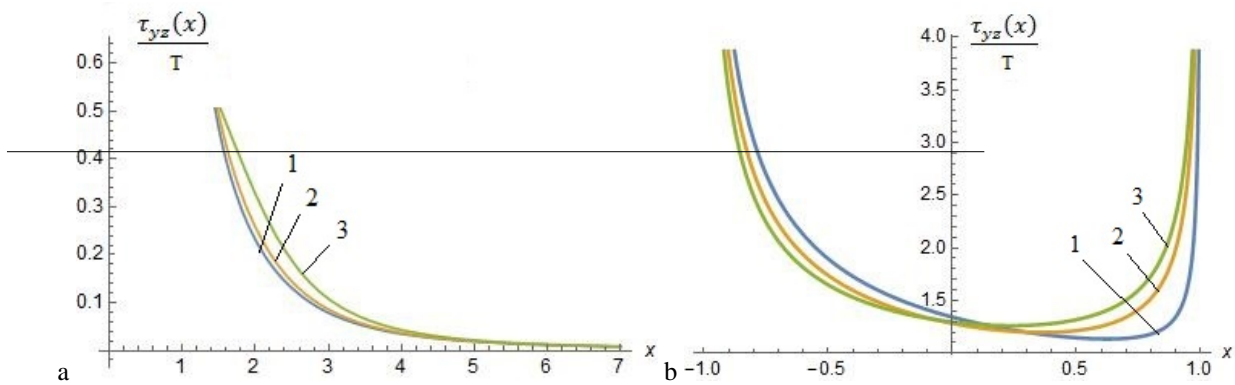


Рис. 3. Графики напряжений: 1- $\frac{\tau_{yz}(x)}{T}$, когда $a_2/-h=0,05$; 2- $\frac{\tau_{yz}(x)}{T}$, когда $a_2/-h=0,55$; 3- $\frac{\tau_{yz}(x)}{T}$, когда $a_2/-h=1,05$

На таблице 1 представлены коэффициенты интенсивности напряжений.

Таблица 1

Коэффициенты интенсивности напряжений

$a_2/-h$	0,05	0,55	1,05
$K_{g\gamma III}$	0,6135	0,5278	0,3741
$K_{q\gamma III}$	0,3094	0,5793	0,6842

Здесь $K_{g\gamma III}$ и $K_{q\gamma III}$ - коэффициенты интенсивности напряжений около трещин под штампом.

При удалении штампов друг от друга коэффициент интенсивности напряжений около трещин $K_{g\gamma III}$ уменьшается, а коэффициент интенсивности напряжений под штампом $K_{q\gamma III}$ - возрастает.

**ՃԱՔԵՐՈՒ ԵՎ ԲԱՂԱԴՐՅԱԼ ԿՒՍՍԱՐԱԾՈՒԹՅԱՆ ՄԱԿԵՐԵՎՈՒՅԹԻ ՎՐԱ ՇՏԱՄՊՆԵՐԻ ՏԵՍՔՈՎ
ԼԱՐՈՒՄՆԵՐԻ ԿՈՒՏԱԿԻՉՆԵՐ ՊԱՐՈՒՆԱԿՈՂ ԲԱՂԱԴՐՅԱԼ ԿՒՍՍԱՐԱԾՈՒԹՅԱՆ
ԼԱՐՎԱԾԱԴԵՖՈՐՄԱՅԻՈՆ ՎԻՃԱԿԸ ՀԱԿԱՀԱՐԹ ԴԵՖՈՐՄԱՅԻՍՅԻ ԴԵՊՔՈՒՄ**

Ա.Ա. Մուսայելյան

Ճարտարապետության և շինարարության Հայաստանի ազգային համալսարան

Առանցքային բառեր. կիսատարածություն, շերտ, ճաք, շտամպ, եզակիություն:

Հետազոտվում է երկայնական սահքի պայմաններում դեֆորմացված բաղադրյալ առաձգական կիսատարածության կոնտակտային խնդիր: Այն բաղկացած է անսահման առաձգական վերջավոր հաստությամբ շերտից և դրա հետ փոխազդող առաձգական կիսատարածությունից, որոնք ունեն տարբեր սահքի մոդուլներ: Կիսատարածության մակերևույթի վրա կցվում է վերջավոր լայնությամբ և հարթ հիմքով կոշտ մամլիչ: Շերտի և կիսատարածության միջև փոխազդման գիծը թուլացված է (թունելային) ճաքով: Այս տվյալները պետք է համեմատել շինարարական կոնստրուկցիաների, շենքերի և կառույցների հիմքերի համար թույլատրելի արժեքների հետ, որոնք գոյություն ունեն տարբեր շինարարական նյութերի համար:

**THE STRESSED DEFORMITY STATE OF THE COMPOSITE HALF-SPACE
FOR ANTI PLANE DEFORMATION**

A.A. Musayelyan

National University of Architecture and Construction of Armenia

Keywords: *half-space, layer, crack, stamp, singularity*

A contact problem for the deformed composite elastic half-space under longitudinal shear conditions is studied. The half-space consists of an elastic infinite layer of finite thickness and an elastic half-space contacting with it, which have different shear moduli. A rigid ribbon stamp with a flat base and a finite width is attached on the surface of the half-space. The contact line between the layer and the half-space is weakened (tunnel-type) by the crack. These data should be compared with the permissible values for construction structures, buildings and erections that are available for various building materials.

ЛИТЕРАТУРА

1. **Мухешвили Н. И.** Сингулярные интегральные уравнения. М: «Наука», 1968.-, 511 с.
2. **Новацкий В.** Теория упругости.- М.: Мир, 1975.- 375 с.
3. **Агаян К.Л., Саркисян В.Г.** Контактная задача упругой плоскости с трещинами, армированной бесконечными включениями // Сб.: Механика деформируемого твердого тела. – Ереван: Изд.-во АН Армении, 1993.- С. 42-46.
4. **Акопян В.Н., Саргсян А.О.** Об одной динамической смешанной задаче для составного пространства с трещиной при антиплоской деформации. // Сб. ст.: “Избранные вопросы теории упругости, пластичности и ползучести”, посв. 75-летию акад. М. А. Задояна.- Ереван: “Гитутюн”, 2006.- С. 50-56.
5. **Мхитарян С. М.** О двух смешанных задачах, связанных с вопросами взаимодействия концентраторов напряжений различных типов с массивными телами при антиплоской деформации. В сб.: Механика деформируемого твердого тела.- Ереван: Изд – во НАН Армении, 1993.- С. 129–143.

Ներկայացվել է՝

25.10.2017 թ.

Ընդունվել է տպագրության՝

12.12.2017 թ.